

## 粘土懸濁液のフロックの性質について

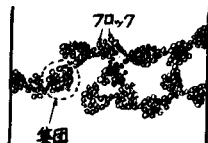
立命館大学理工学部  
神戸市立工業高等専門学校

正員 大同 淳之  
正員 ○日下部重幸

## 1. はしがき

粒子懸濁液のフロックは、下水や汚水処理等に際して重要な働きをするので、フロックの沈降速度等についても、多數の理論式や実験式が提唱されている。これらの式は、比較的濃度の低いものを主な対象としているが、粘土を多量に含んだ泥流についても、フロックの性質を調べることで、泥流の一部の特性を表し得るものと考える。

粘土懸濁液は、図-1のよう、フローラクや集団を形成し流動や沈降に際して複雑な挙動を示す。



## 図-1. フロックおよび 集団の構造モデル

沈降特性の実験では、フロック面の挙動を扱うものが多いため、A. M. Gaudin と M. C. Fuestenau が X 線を用いて懸濁液中の密度分布を測定した結果が、A. S. Michaels らによて紹介されている。これによると、ある深さまでは最初の濃度が棒状に保たれて沈降し、下部から破壊が進んで密度の高い部分が時間の経過とともに上昇するとしている。

## 2. 壓縮沉降速度

懸濁液の圧縮波速度式として、Roberts式とRollason式の特性を生かし、カオリン凝集スラリーや河川濁質スラリーに対して広範に適用できる次の式が総積により導かれている。<sup>2)</sup>

$$\ln \frac{Z - Z_f}{Z_c - Z_f} = n \cdot \ln \frac{t}{t_c} \quad \dots \dots \dots (1)$$

ここに、 $\Sigma$ は時間たるにおけるフローワ面の高さ、 $\Sigma_f$ は無限時間経過後の高さ、 $\Sigma_0$ は圧縮点たるにおける高さ、 $\kappa$ は定数である。式(1)は、 $(\Sigma - \Sigma_f)$ と $t$ とが両対数紙上で直線となることを示している。

Terzaghi の一次元圧密理論によると、間げき水圧  $U$  は、圧密係数  $C_v$  を用いて、 $\frac{\partial u}{\partial t} = C_v \cdot \frac{\partial^2 U}{\partial z^2}$  ----- (2) と表される。式(2)を片面排水で、間げき水圧の初期値  $U_0$  が全層を通じて一定という条件で解き、粘土層の初期高さ  $Z_0$ 、平均圧密度  $J = (Z_0 - Z)/(Z_0 - Z_f)$  を用いて書くと次のようになる。

$$1 - U = \frac{Z - Z_f}{Z_0 - Z_f} = \frac{8}{\pi^2} \sum_{m=0}^{\infty} \frac{1}{(2m+1)^2} \exp\left[-\frac{\pi^2(2m+1)^2 C_v t}{4Z_0^2}\right] \quad (3)$$

式(3)は、 $(z-z_f)$  と太が片対数紙上で直線となることを示している。

A.M. Michaels と J.C. Bolger は、図-2 のような初期濃度が一定に保たれる長さ  $\Delta Z$  を考えて、フリーリッドを立て、Kozeny-Carman の式  $dP/dZ = k_0 \mu L_f^2 \cdot dZ/dt \cdot S^3/e^3$  (4) を用い、壁面支持力を無視して次式を導いている。

$$\frac{dZ}{dt} = \frac{e^3}{k_0 \mu L_p^2 S^2} \left\{ -\frac{\sigma_y}{\Delta Z} + g(p_s - p_w) \phi_s \right\} \quad \dots \dots \quad (5)$$

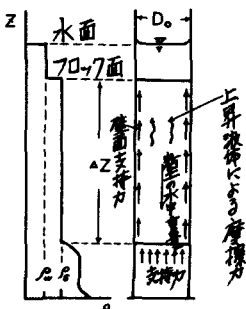


図-2 一定濃度部に  
かかる力

ここに,  $e$  は空げき率,  $S$  は比表面積,  $\mu$  は液体の粘性係数,  $\phi_f$  は集団の圧縮降伏値,  $\rho_s$ ,  $\rho_w$  は粒子および水の密度,  $\alpha$  は容積濃度,  $k_0$ ,  $L_p$  は滑らかな直管に対して 2.0, 1.0 の値をとることができる。

### 3. フロッカ径

比表面積  $S$  と空げき平均直径  $d_0$  の関係  $S = 4e/d_0$ ,  $k_0 = 2.0$ ,  $L_p = 1.0$  として式(4)を変形すると

$$d_0 = \sqrt{\frac{32\mu g Z}{e \cdot \frac{dp}{dz}}} \quad \dots \dots (6)$$

となる。また  $e$  は、集団の容積濃度  $\alpha$ , フロッカの容積濃度と粒子の容積濃度との比例係数  $C_{FS}$ , 集団の容積濃度とフロッカの容積濃度との比例係数  $C_{AF}$  を用いて、

$$e = 1 - \phi_A = 1 - C_{AF} \phi_F = 1 - C_{AF} C_{FS} \phi_s \quad \dots \dots (7)$$

と表すことができ、フロッカが球形で正方形の粗充填をするとき仮定すると、 $C_{FS} = 0.52 Z_f/Z_0 \phi_s$  と表すことができる。さらに、フロッカ径  $D_A$  は、 $D_A = 1.284 d_0$  となる。

### 4. 実験および結果

実験装置は、内径 6.2 cm, 長さ 200 cm の透明アクリルパイプを鉛直に立て、30 cm 間隔に空げき水圧測定用ピエゾ X ターダーを取り付けたものである。実験に用いた粘土は、中央粒径  $d_{50} = 0.0034$  mm, 比重 2.70, 標準偏差 2.96 の白色粘土である。

懸濁液柱の高さ 180 cm, 容積濃度  $\phi_s = 0.068 \sim 0.207$  で実験を行ったが、フロッカ面は数十時間の間ほぼ直線的に低下し、一定の高さで沈降がほぼ停止した。停止したフロッカ面の高さを式(1), (3)の  $Z_f$  に等しいものとして、 $(Z - Z_f)$  と  $Z_0$  の関係を図示すると、図-3 のように、片対数紙上ではほぼ直線となり式(3)に近い形で沈降するものと考えられる。この場合、Terzaghi 理論の多くの仮定が粘土懸濁液の沈降にもある程度許されることとなるが、これは、圧縮作用を受ける部分が、棒状の初期濃度部と低濃度部から上昇する高濃度部の接するごく狭い範囲で行われるためと考えられる。

式(8)を変形し、 $Z_f = C_{FS} \cdot \phi_s \cdot Z_0 / 0.52$  とすると、 $Z_f$  と  $\phi_s \cdot Z_0$  とは比例することとなる。実験結果を図示すると、図-4 のようになり  $C_{FS} = 1.9$  程度の値が得られた。

初期濃度が棒状に低下することが、実験開始より 6 ~ 7 時間に亘り読みとれたので、この間の結果を用いてフロッカを球形として  $D_A$  を求めると、図-5 に示すようである。これよりフロッカ径は、粘土粒子径の 2.88 ~ 9.0 倍程度の値であることが推定される。

参考文献  
 1). A.S. Michaels & J.C. Bolger; Settling Rates and Sediment Volumes of Flocculated Kaolin Suspensions, J. & E.C. Fundamentals, 1962  
 2). 橋本義; 凝集性スラリーの圧縮沈降特性に関する研究(1), 水道協会雑誌第 51 号, 1977.  
 3) たとえば 最上式, 土質力学, 技報堂, 1969

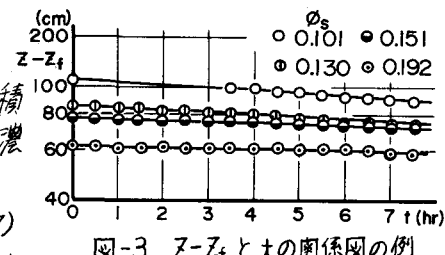


図-3  $Z - Z_f$  と  $t$  の関係図の例

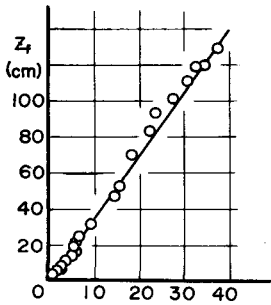


図-4  $Z_f$  と  $\phi_s \cdot Z_0$  の関係

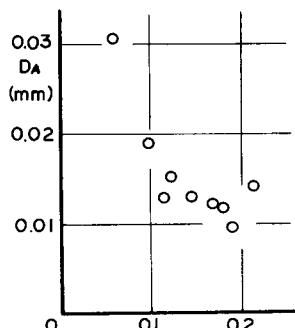


図-5  $D_A$  と  $\phi_s$  の関係